



11205
Zej.
2.

**UNIVERSIDAD NACIONAL AUTÓNOMA
DE MÉXICO**

FACULTAD DE MEDICINA
División de Estudios de Postgrado
Hospital de Especialidades del Centro Médico
"La Raza" I. M. S. S.

**INDICES PRONÓSTICOS EN LA CARDIOMIOPATIA
DILATADA PRIMARIA**

TESIS DE POSTGRADO

Que para obtener el Título de
ESPECIALISTA EN CARDIOLOGÍA

presenta

DR. FERNANDO OCTAVIO AYALA AZUARA



Méjico, D. F.

Ayudante: Dr. ARTURO ALMANSOZ GONZALEZ

VALLA FE CRIGER

1988

Dr. ELIAS BADUI



UNAM – Dirección General de Bibliotecas

Tesis Digitales
Restricciones de uso

DERECHOS RESERVADOS ©
PROHIBIDA SU REPRODUCCIÓN TOTAL O PARCIAL

Todo el material contenido en esta tesis está protegido por la Ley Federal del Derecho de Autor (LFDA) de los Estados Unidos Mexicanos (México).

El uso de imágenes, fragmentos de videos, y demás material que sea objeto de protección de los derechos de autor, será exclusivamente para fines educativos e informativos y deberá citar la fuente donde la obtuvo mencionando el autor o autores. Cualquier uso distinto como el lucro, reproducción, edición o modificación, será perseguido y sancionado por el respectivo titular de los Derechos de Autor.

I N D I C E

| | |
|---|----|
| R E S U M E N | 1 |
| I N T R O D U C C I O N | 7 |
| M A T E R I A L Y M E T O D O S | 9 |
| R E S U L T A D O S | 11 |
| C O M E N T A R I O | 13 |
| C O N C L U S I O N E S | 16 |
| T A B L A S Y F I G U R A S | 17 |
| B I B L I O G R A F I A | 24 |

INDICES PRONOSTICOS EN CDP

1

RESUMEN

El objetivo del estudio fue investigar si además de la hipotrofia contractilidad, hallazgo fundamental en la Cardiomepatía Dilatada Primaria (CDP) estaba presente algún otro mecanismo en el desarrollo de Insuficiencia Cardiaca (IC) y si este influía en el pronóstico. Se estudiaron 13 pacientes con CDP - en el laboratorio de hemodinamia de Enero 1982 a Enero 1988. Fueron excluidos aquellos con hipertensión sistémica, enfermedad infiltrativa, nefropatía, cardiepatía congénita, diabète y alcoholismo. El grupo control lo formó 12 pacientes - estudiados con otro propósito. Se analizaron nuevas variables, incluyendo fracción de expulsión, resistencias sistémicas, stress circunferencias sistólicas y diastólicas, grosor de pared del ventrículo izquierdo, masa ventricular izquierda, volumen ventricular izquierdo al fin de diástole y sistole, - graficando la relación fuerza-velocidad y fuerza-lengitud. Los enfermos fueron vigilados por 8 a 60 meses, promedio 39 meses. Los enfermos con CDP fueron divididos en dos grupos, "compensados" y "descompensados" estos con fracción de expulsión menor y significativamente mayor stress sistólico. Se investigó cual era el mecanismo de compensación y descompensación mediante la relación fuerza-velocidad y fuerza-lengitud, encontrando que la compensación se asocia a una despre-

INDICES PRONOSTICOS EN CDP

2

percionada elevación de la post-carga, a mayor volumen sistólico final mayor stress sistólico lo que sugiere no solo que la longitud de la fibra miocárdica al final de la sístole está gobernada por la fuerza, si no que la descompensación se produce cuando la hipercontractilidad se añade a la incapacidad para compensar la post-carga, encontrando que las tres defunciones que existieron en el grupo estudiado con CDP se encontraban con estas características hemodinámicas, siendo la causa de muerte para dos pacientes IC y el otro por fibrilación ventricular. Con estas observaciones, nosotros consideramos que los pacientes con CDP deben de ser estudiados através de la relación fuerza-velocidad y fuerza-longitud para detectar a los pacientes de alto riesgo.

PRONOSTIC INDEX IN PRIMARY DILATED CARDIONYOPATHY

3

SUMMARY

The purpose of this study was to investigate, if besides the hyperecontractility, which is the main finding in Primary Cardiomyopathy (PDC) there was some other mechanism in the development of Cardiac Insufficiency (CI) and if this fact could influence in it's prognosis. We studied 13 patients with PDC in the hemodynamic cardiac laboratory from January 1982 to January 1988. Those with systemic arterial hypertension, Coronary heart disease, myocarditis, primary valvular lesions, infiltrative disease, nephropathy, congenital heart disease, diabetes and alcoholism, were excluded. The control group was formed by 12 healthy subjects, which were studied for another purpose. We analyzed nine variables, including ejection fraction, peripheral resistance, systolic and diastolic circunference stress, left ventricular mass, left ventricular end diastolic and systolic volumes as well as force-velocity and force-fiber length relationship. The patients were followed up from 8 to 60 months, average 39 months. The cases with PDC were divided in two groups, "compensated" and "decompensated". The last ones with low ejection fraction and significantly increased systolic stress. We investigated which was the mechanism of compensation and decompensation through the force-velocity and force-fiber length relation, finding

PRONOSTIC INDEX IN PRIMARY DILATED
CARDIOMYOPATHY

4

that compensation associated with desproporcionalmente after-load increased, the more end systolic volumes the more systolic stress, which suggests that the fiber lenght at the end of the systole is not only controled by the "force", but the descompensation is developed when the hipercontractility is added to the inability to compensate the after load. We found that the three deaths in this study had these hemodynamic characteristics, being the cause of death cardiac insufficiency in two patients and ventricular fibrillation in one. With these observations, we consider that patients with PDC should be studied through the force-velocity and force-fiber lenght relationship to detect the high risk patient.

INDICES PRONOSTIQUES DANS LA CDP

5

RESUME:

L'objectif de l'étude était d'investiguer si en plus de l'hypoccontractilité, découverte fondamentale dans la Cardiomépathie Dilatée Primaire (CDP), un autre mécanisme quelconque était présent dans le développement de l'Insuffisance Cardiaque (IC) et si celui-ci influençait le pronostique. On a étudié 13 patients avec CDP dans le laboratoire d'hémodynamique de Janvier 1982 à Janvier 1988. Ceux avec hypertension systémique, maladie cérébraire, myocardite, lésion valvulaire primaire, maladie infiltrative, néphropathie, cardiopathie congénitale, diabète et alcoolisme ont été exclus. Le groupe était formé de 12 patients étudiés dans un autre but. Neuf variables ont été analysées, y compris fraction d'expulsion, résistances systémiques, stress circunferenciel systolique et diastolique, épaissement de la paroi du ventricule gauche, masse ventriculaire gauche, volume ventriculaire gauche après diastole et systole, mettant sur graphique la relation force-vélocité et force-longitude. Les malades ont été surveillés sur une période de 8 à 60 mois, en moyenne - 39 mois. Les malades avec CDP ont été divisés en deux groupes, "compensés" et "décompensés", ceux-ci avec une fraction d'expulsion mineure et un stress systolique majeur de façon significative. Le mécanisme de compensation et décompensation a été investigué selon relation force-vélocité et force-longitude, ayant comme résultat que la compensation s'a-

INDICES PRONOSTIQUES DANS LA CDP

6

associe à une élévation déproportionnée de l'apres-charge, plus le volume systolique final est grand plus le stress systolique est grand, ce qui suggère que non seulement la longitude de la fibre myocardique à la fin de la systole est gouvernée par la force sinon que la décompensation se produit lorsque la — hypocentrantilique s'ajoute à l'incapacité de compenser l'apres-charge, ayant comme résultat que les trois décès survenus dans le groupe étudié avec CDP avaient ces caractéristiques hémodynamiques, étant la cause du décès de deux patients IC et — l'autre à cause de fibrillation ventriculaire. Tenant compte de ces observations, nous considérons que les patients avec — CDP doivent être étudiés par l'entremise de la relation force-vélocité et force-longitude afin de détecter les patients à — risques élevés.

INTRODUCCION

La Cardiomepatía Dilatada fué descrita por primera vez por Jesser y Cavallardini en 1911 (3,4). Desde entonces, los múltiples estudios sobre el tema señalan el mal pronóstico que este padecimiento tiene (1,3,4,6,7) y poco se ha avanzado en la etiología del mismo. Se sabe que histológicamente existe necrosis focal, fibrosis y más tarde dilatación de las cuatro cavidades (8) fenómeno que se traduce hemodinámicamente por una disminución importante de la función ventricular, que en forma secundaria se desarrolla un aumento de las resistencias vasculares y de la tensión de la pared ventricular (1).

Quiza la mejor comprensión del concepto de la Cardiomepatía Dilatada Primaria (CDP) se logre detallando sus características hemodinámicas, considerandela como un síndrome de etiología desconocida en la que la contractilidad disminuida en un corazón dilatado son el pivote para el desarrollo inevitable de síntomas y signos de Insuficiencia Cardíaca (IC) (1,3,4,5,6,7,8). Dos son las causas principales de muerte en esta enfermedad; IC y arritmias, a éstas, se añaden los impoderables como las embolias y las infecciones (1,3,6,8).

De acuerdo a Hirata (1), se considera que el nivel de com-

INDICES PRONOSTICOS EN CDP

8

tractilidad es lo que establece la diferencia entre pacientes "compensados" y "descompensados". En la práctica clínica algunos pacientes cursan con IC descompensada y mueren a cierto plazo, mientras otros, responden bien al tratamiento - médico y disfrutan de una vida estable (1,3,6), aunque impredecible. Por este motivo, emprendimos el presente trabajo - para investigar si además de la hipoccontractilidad existe - otro índice pronóstico en estos pacientes (portadores de - CDP), mediante estudio hemodinámico.

INDICES PRONOSTICOS EN CDP

9

MATERIAL Y METODOS

Se estudiaron a 13 pacientes con el diagnóstico de CDP hospitalizadas en los últimos seis años de Enero 1982 a Enero 1988, en el Servicio de Cardiología Del Hospital de Especialidades Del CMR, IMSS (Servicio de Hemodinamia). Pacientes que se compararon con un grupo control formado por 12 sujetos estudiados por otra causa de edad y sexo similar. En todos los casos se realizaron los siguientes estudios: - historia clínica completa, examen físico, electrocardiograma de reposo, serie cardíaca y estudio hemodinámico (Siemens). Los criterios de inclusión fueron: A) Clínicos: IC, presencia de fenómenos embógenos e ausencia de los mismos.B) Electrocardiográficos: arritmias, bloqueos e no existencia de trastornos de conducción o arritmias, crecimiento de cavidades.C) Radiológicos: índice cardiotorácico mayor de 0.57, crecimiento de las cuatro cavidades y datos de hipertensión venocapilar pulmonar. D) Hemodinámicos: fracción de expulsión sénior de 46%, volumen sistólico final mayor de 30cc y diástolico final mayor de 70cc con resistencias sistémicas mayores de $1,500 \text{ dinas-s-cm}^{-5}$, gasto cardíaco menor de 2.5 l/minuto, presencia de insuficiencia valvular secundaria, presencia e no de tremores. Los criterios de exclusión: hipertensión arterial sistémica, enfermedad cerebrovascular, miocarditis, lesión valvular primaria, -

INDICES PRONOSTICOS EN CDP

10

cardiopatías congénitas, enfermedad infiltrativa, nefropatía, diabetes y alcoholismo. En la realización del estudio hemodinámico se lleva a cabo: ventriculografía izquierda en posición oblicua anterior izquierda y oblicua anterior derecha (cada proyección a 30 grados), aortografía en oblicua anterior derecha (30 grados), coronariografía bilateral en proyecciones habituales, obtención de volumen ventricular izquierdo sistólico final (VSF) y volumen ventricular diastólico final (VDF) así como fracción de expulsión (FE) mediante el método de Dodge (10), la masa ventricular (MV) obtenida mediante el método de Rackley (2), el stress sistólico (SS) y stress diastólico (SD) por medio del modelo de Mirsky (1), el grosor de pared (GP), resistencias sistémicas (RS) y presión diastólica y sistólica del ventrículo izquierdo (PVSD) por método convencional. Los pacientes fueron vigilados por 8 a 60 meses, promedio 39 meses. El análisis estadístico se realizó con la t de Student y Análisis de Varianza.

RESULTADOS

En el grupo con CDP formado por 13 pacientes, 10 de ellos - (77%) fueron del sexo masculino y 3(23%) del femenino, con edades de 17 a 68 años, promedio de 49.4 años. El grupo -- control fue compuesto por 12 pacientes; 9 (75%) del sexo -- masculino y 3(25%) del femenino con edades de 35-62 años -- con una edad media de 51.2 años. El estudio comparativo -- entre el grupo con CDP y el grupo control mostró alteraciones en cada uno de los parámetros estudiados mediante estudio hemodinámico como se señalan en la tabla III. Cinco de -- los trece pacientes con CDP se encontraban "compensados" -- tabla II, mientras los restantes ocho estaban "descompensados" tabla II . Para investigar si además de la hipocentrag- tilidad intervenía algún otro factor para explicar la com- pensación e descompensación se obtuvo la relación fuerza-ve- locidad y fuerza-lengitud que estudian función ventricular- (figura 1,2). Se encontró dilatación de la cavidad ventri- cular mayor en el grupo de descompensados que el grupo de -- compensados (tabla II y IV) con diferencia significativa -- entre el grupo control y de CDP (tabla III), la RS es -- mayor en el grupo de compensados que el de descompensados -- (tabla II y IV) con diferencia significativa entre el gru- po control y de CDP (tabla III). Existe incremento de RS -

INDICES PRONOSTICOS EN CDP

12

en ambos grupos; compensados y descompensados (tabla II y IV) siendo menor en el grupo control (tabla I y III), este muestra que al existir un gasto cardiaco (GC) bajo (dado por PE) existe en forma compensatoria un incremento de resistencias sistémicas como forma compensatoria, con volumen diastólico final y sistólico final (VDF y VSF) aumentado en pacientes con CDP (tabla II y IV). En la Figura No. 1 se observa el resultado obtenido al relacionar la fuerza-velocidad en donde el grupo control muestra PE normal y SS bajo a diferencia del grupo de pacientes con CDP en donde existe una relación inversa a mayor SS menor PE que lleva a IC. Los pacientes que fallecieron se encontraban en esta condición (figura No. 1) en forma extrema. La relación fuerza-lengüedad mostrada en la figura No. 2 demuestra que en el grupo control el SS y el VSF tiene valores pequeños no así si el grupo con CDP en donde estos valores son mayores, y existe una relación directa en ambos valores (VSP y SS), dada por incremento de volumen en la cavidad que ejerce mayor tensión sobre la pared del ventrículo dilatado encontrado en este caso también al grupo de pacientes fallecidos llevado a su extremo ambos valores (figura No. 2).

En la Figura No. 3 se observa la evolución clínica de los pacientes con CDP durante el estudio.

COMENTARIO

El hallazgo principal en la CDP es la hipofunción del corazón analizado como bomba, se acompaña de dilatación de las cavidades y aumento variable del grosor de sus paredes. En la práctica clínica se observan dos tipos bien definidos de comportamiento: "compensados" y "descompensados", ambos comportamientos poseen diferencias clínicas y hemodinámicas. Para explicar este tipo débil de comportamiento pediría llevarse a cabo la siguiente secuencia: en un inicio la hipercontractilidad obliga al corazón a dilatarse para mantener un gasto cardíaco adecuado, lo que conlleva un aumento proporcional del stress diastólico y sistólico sobre la pared ventricular siendo éste el estímulo para el desarrollo de hipertrofia excéntrica, lo armónico entre el grado de hipercontractilidad/dilatación/hipertrofia definirá el estado -- "compensado"; la "descompensación" sobreviene probablemente cuando las resistencias vasculares se incrementan desproporcionadamente (5,9) a la capacidad para mantener normal el stress de la pared mediante la hipertrofia, lo que conduce necesariamente a IC. De ser ciertas estas aseveraciones la relación fuerza-velocidad y fuerza-lengitud pueden emplearse como prenóstico de lo adecuado e inadecuado de ésta capacidad de adaptación, capacidad que ha sido amplia-

INDICES PRONOSTICOS EN CDP

14

mente estudiada por los Drs. Grossman y Ross, aplicado fundamentalmente a casos con estenosis aórtica (11,12).

En nuestros resultados se puede observar (figura N° 1) -- como el grupo control se caracterizó por una PE normal y SS bajo; el grupo CDP "compensado" obviamente con contractilidad disminuida y postcarga no muy anormal siguiendo más o menos una paralela con la linea de identidad y como el grupo CDP "descompensado" se asoció a una desproporciónada sugvaciación de la postcarga (11,12) con una clara relación inversa a mayor SS, menor PE; cabe mencionar que los pacientes que fallecieron sea por IC o arritmias se encontraban en -- este grupo y poseían valores en extreme elevados.

Respecto a la relación fuerza-velocidad (figura N° 2) se observa como los sujetos control tienen velocidades normales con SS bajo en una relación directa en que a mayor volumen-sistólico final mayor SS. Esta relación sugiere que la longitud al final de la sistóle está gobernada por la fuerza de contracción, tanto en ventrículos normales como en CDP, desde luego si que la curva posee menor pendiente representa la depresión de la contractilidad. Recapitulando, la relación fuerza-velocidad y fuerza-lengitud determinan que pacientes con CDP se encuentran en alto riesgo.

INDICES PRONOSTICOS EN CDP

15

Cabe la posibilidad que llevado al caso particular de un paciente con alto riesgo, podrían emplearse medicamentos que mejoran la contractilidad miocárdica y vasodilatadores que contrarresten la dilatación de la cavidad ventricular y normalicen el stress de la pared, aquellos con mala respuesta podrían incluirse en un programa de transplante cardiaco.

INDICES PRONOSTICOS EN CDP

16

CONCLUSIONES

- A) La fracción de expulsión, parámetro utilizado como índice de contractilidad en CDP, pese al defecto de estar influenciada por el nivel de post-carga.
- B) La relación fuerza-velocidad y fuerza-lengitud son índices que estudian mejor la función ventricular en la CDP y señalan a pacientes de alto riesgo.

TABLA I

| GRUPO CONTROL (12 CASOS) | EDAD/SEXO | PE (%) | RS (dinos/s/cm ⁻⁵) | SS (g/cm ²) | SD (g/cm ²) | GP (cm) | IV (g/m ²) | VDF (cc) | VSP (cc) | IVSD (mm Hg) |
|-------------------------------|-----------|-----------|-----------------------------------|----------------------------|----------------------------|------------|---------------------------|-------------|-------------|-----------------|
| 1. ⁺ | 35/H | 71 | 1220 | 99 | 20 | .70 | 162 | 70 | 20 | 110/6 |
| 2. ⁺ | 45/H | 62 | 1304 | 130 | 30 | .51 | 157 | 80 | 30 | 104/5 |
| 3. ⁺ | 53/H | 63 | 1115 | 75 | 17 | .70 | 182 | 95 | 20 | 129/5 |
| 4. ⁺ | 62/H | 78 | 1200 | 80 | 17 | .50 | 178 | 90 | 19 | 120/4 |
| 5. ⁺ | 62/H | 70 | 1275 | 120 | 33 | .50 | 162 | 100 | 30 | 110/6 |
| 6. ⁺ | 49/H | 60 | 1475 | 147 | 39 | .55 | 153 | 95 | 30 | 100/7 |
| 7. ⁺ | 47/H | 78 | 1275 | 78 | 19 | .62 | 175 | 75 | 28 | 115/4 |
| 8. ⁺ | 53/H | 71 | 1300 | 80 | 17 | .50 | 157 | 70 | 20 | 120/2 |
| 9. ⁺ | 59/M | 68 | 1375 | 127 | 30 | .52 | 160 | 92 | 29 | 130/4 |
| 10. ⁺ | 45/H | 54 | 1350 | 130 | 37 | .40 | 158 | 75 | 30 | 100/6 |
| 11. ⁺ | 58/M | 71 | 1200 | 100 | 24 | .45 | 160 | 70 | 20 | 115/6 |
| 12. ⁺ | 47/H | 65 | 1400 | 131 | 35 | .50 | 162 | 87 | 30 | 100/8 |

TABLA II

| COMPENSADOS (5 CASOS) | | EDAD/SEXO | FE (%) | RS (dinas/s/cm ⁻⁵) | SS (g/cm ²) | SD (g/cm ²) | GP (cm) | MV (g/m ²) | VDF (cc) | VSF (cc) | PVSD (mm Hg) |
|-----------------------------|------|-----------|-----------|-----------------------------------|----------------------------|----------------------------|------------|---------------------------|-------------|-------------|-----------------|
| 1. | 35/M | 44 | 1944 | 128 | 66 | .85 | 308 | 94 | 50 | 100/17 | |
| 2. | 52/M | 46 | 1311 | 180 | 35 | .70 | 120 | 122 | 60 | 95/9 | |
| 3. | 38/H | 46 | 1733 | 200 | 50 | .50 | 130 | 105 | 66 | 95/9 | |
| 4. | 42/H | 42 | 1600 | 165 | 30 | .70 | 218 | 130 | 75 | 100/10 | |
| 5. | 63/H | 40 | 1685 | 184 | 72 | .70 | 153 | 100 | 60 | 100/5 | |
| DESCOMPENSADOS (8 CASOS) | | | | | | | | | | | |
| 6. | 66/H | 28 | 1750 | 300 | 51 | .87 | 230 | 167 | 120 | 160/17 | |
| 7. | 44/H | 21 | 1492 | 301 | 41 | .70 | 131 | 250 | 196 | 120/5 | |
| 8. | 68/H | 27 | 1992 | 285 | 55 | .83 | 136 | 180 | 130 | 106/18 | |
| 9. | 42/H | 30 | 1588 | 206 | 126 | .91 | 343 | 280 | 194 | 109/27 | |
| 10. | 55/H | 43 | 1800 | 250 | 60 | .85 | 270 | 195 | 110 | 110/15 | |
| 11. | 57/H | 42 | 1703 | 279 | 53 | 1.2 | 234 | 162 | 88 | 91/15 | |
| 12. | 17/H | 35 | 1408 | 330 | 69 | 1.2 | 308 | 169 | 109 | 80/22 | |
| 13. | 64/M | 35 | 2247 | 279 | 40 | .73 | 297 | 180 | 117 | 140/12 | 9 |

TABLA III

GRUPO CONTROL
(12 CASOS)

| | EDAD | FE (%) | RS (dinas/s/cm ⁻⁵) | SS (g/cm ²) | SD (g/cm ²) | GP (cm) | MV (g/m ²) | VDF (cc) | VSP (cc) |
|-----------|-------|-----------|-----------------------------------|----------------------------|----------------------------|------------|---------------------------|-------------|-------------|
| \bar{X} | 51.25 | 70.1 | 1291 | 108.1 | 26.85 | .545 | 163.8 | 83.25 | 25.5 |
| SD | 8.12 | 6.93 | 99.82 | 25.62 | 8.65 | .093 | 9.24 | 11.14 | 5.07 |

GRUPO CDP
(13 CASOS)

| | | | | | | | | | |
|-----------|-------|-------|-------|-------|-------|------|-------|--------|-------|
| \bar{X} | 49.46 | 36.85 | 1712 | 237.5 | 57.69 | .625 | 221.1 | 164.15 | 105.8 |
| SD | 14.83 | 8.16 | 251.4 | 63.35 | 24.35 | .197 | 79.77 | 56.1 | 47.44 |

GRUPO CONTROL VS GRUPO CDP

NS p < 0.01 p < 0.01

TABLA IV

COMPENSADOS
(5 CASOS)

| | EDAD | FE (%) | RS (dinas/c/cm ⁻⁵) | SS (g/cm ²) | SD (g/cm ²) | GP (cm) | MV (g/m ²) | VDF (cc) | VSF (cc) |
|-----------|-------|-----------|------------------------------------|----------------------------|----------------------------|------------|---------------------------|-------------|-------------|
| \bar{x} | 46 | 43.6 | 1654 | 171 | 51 | .68 | 105.5 | 110.2 | 62.2 |
| SD | 11.46 | 2.60 | 230.14 | 27.27 | 12.89 | .121 | 72.24 | 15.20 | 9.17 |

DECOMPENSADOS
(3 CASOS)

| | EDAD | FE (%) | RS (dinas/c/cm ⁻⁵) | SS (g/cm ²) | SD (g/cm ²) | GP (cm) | MV (g/m ²) | VDF (cc) | VSF (cc) |
|-----------|-------|-----------|------------------------------------|----------------------------|----------------------------|------------|---------------------------|-------------|-------------|
| \bar{x} | 51.62 | 32.62 | 1747 | 278 | 61.87 | .911 | 243.25 | 197.87 | 125 |
| SD | 16.97 | 7.57 | 272.55 | 37.28 | 27.58 | .191 | 77.21 | 43.39 | 40.09 |

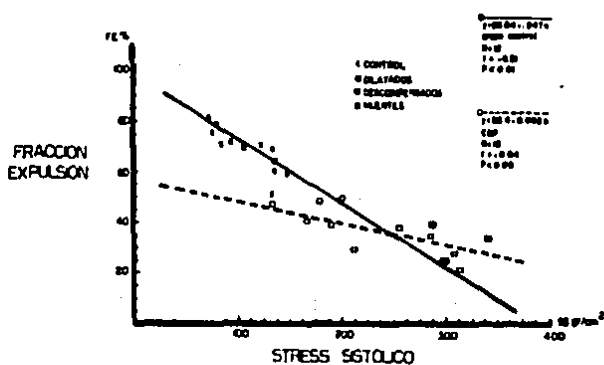
COMPENSADOS VS DECOMPENSADOS

NS p 0.05 NS p 0.01 NS p 0.05 NS p 0.01 p 0.01

INDICES PRONOSTICOS EN CDP

21

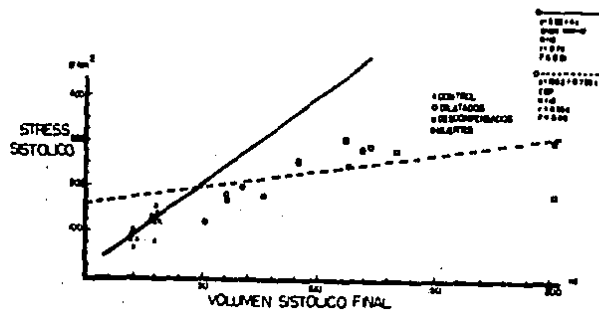
FIGURA N°. 1: RELACION FUERZA-VELOCIDAD, COMPARANDO GRUPO - CONTROL VS GRUPO CON CDP.



INDICES PRONOSTICOS EN CDP

22

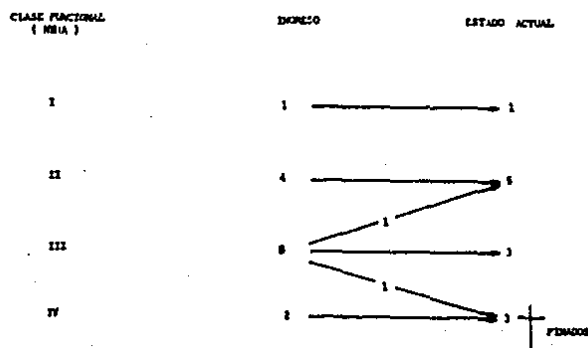
FIGURA No. 2: RELACION FUERZA-LONGITUD, COMPARANDO GRUPO -
CONTROL VS GRUPO CON CDP.



INDICES PRONOSTICOS EN CDP

23

FIGURA N°. 3: EVOLUCION CLINICA DE LOS PACIENTES CON CDP.



INDICES PRONOSTICOS EN CDP

24

1. Hirata Y, Shimizu, Kaku K, Saito T, Kino M, and Kuwamura K: Mechanisms of Compensation and Decompensation in Dilated Cardiomyopathy. Am J. Cardiol. 54: 1033, 1984 .
2. Rackley C, Dodge H, Cable Y, Hay R: A method for determining left ventricular mass in man. Circulation - 29: 666, 1964.
3. Unverferth V, Magerien D, Meescherberger L, Baker B, Petters K, Leier V: Factors Influencing the one-year Mortality of Dilated Cardiomyopathy. Am J. Cardiol. 54: 147, 1984.
4. Jesserand E, Gallavardin L. De l'asystole progressive des jeunes sujets par myocardite subaigue primitive. Arch Gen de Med 78: 513, 1901 .
5. Andersson L, Lutz R, Gilbert M, Serensen G, Yanowitz G, Menlove L, Barthelmes: A Randomized Trial of Low-Dose Beta-Blockade Therapy for Idiopathic Dilated Cardiomyopathy. Am J. Cardiol. 55:471, 1985 .
6. Johnson A, Palacios I: Dilated Cardiomyopathies of - The Adult. N Engl. J. Med. 307: 1051, 1982 . (First - of two Parts).

7. Jeansom A, Palacios I: Dilated Cardiomyopathies of - The Adult. N Engl. J. Med. 307: 119, 1982 . (Second of two Parts) .
8. Senneblick H, Fein P, Capasso M, Factor M: Microvascular Spasm as a cause of Cardiomyopathies and the Calcium-Blocking agent Verapamil as Potential Primary Therapy. Am J. Cardiol. 55: 179, 1985 .
9. Swedberg K, Hijmanssen A, Wagstein F, Wallentin I: - Preliminary communication: prolongation of survival in congestive cardiomyopathy by beta-blockade. Lancet. -- 1: 1374, 1979 .
10. Rackle E, Hedd P, Grossman W. Measurements of Ventricular Volume, Mass and Ejection Fraction. Grossman W, Cardiac Catheterization and Angiography, Second Edition. Lea and Febiger, Philadelphia; 1980 .
11. Grossman W, Braunwald E, Mann T, McLaurin L, Green L: Contractile state of left ventricle in man as evaluated from the end-systolic pressure-volume relation. Circulation. 56: 845, 1977 .
12. Grossman W, Jones D, McLaurin L: Wall stress and patterns of hypertrophy in the human left ventricle. J -- Clin Invest. 56: 56, 1975 .